

کانی شناسی و زمین‌شیمی گارنت‌های چند خاستگاهی در گارنت‌شیست‌های منطقه انجیرخواجه-سیرجان (جنوب شرق ایران) بر پایه بررسی طیف‌سنجی ریز رامان

حیدر رحیمی صادق^{*}، حسام الدین معین‌زاده^{*}، بهرام بهرام بیگی

گروه زمین‌شناسی، دانشکده علوم، دانشگاه شهید باهنر کرمان، کرمان، ایران

(دریافت مقاله: ۱۴۰۰/۶/۲۰، نسخه نهایی: ۱۴۰۰/۸/۱۵)

چکیده: منطقه انجیرخواجه در بخش جنوبی پهنه دگرگونی سنندج-سیرجان در شمال غربی معدن آهن گل گهر واقع شده است. واحدهای سنگی منطقه متابازیت، متاسدیمنت، سنگ‌های آذرین و رسوبی هستند. متاسدیمنت‌ها شامل میکاشیست، گارنت‌شیست و گارنت-استارولیت شیست هستند که در رخساره‌های شیست‌سیز و آمفیبولیت دگرگون شده‌اند. گارنت فراوان ترین شکفته بلور در متاسدیمنت‌هاست که به صورت نیمه شکل دار تا ناخودشکل با اندازه‌های متوسط تا درشت حضور دارد. نتایج ریزپردازش الکترونی نشانگر محلول جامد گارنت‌ها با بالاترین درصد در نوع آلمندین است. بر اساس بررسی‌های ریزساختاری، سه نسل از گارنت‌ها با ویژگی‌های شیمیایی و طیفی رامان متفاوت تشخیص داده شدند. این سه نسل شامل گارنت‌های غنی از آلمندین، غنی از گروسولار و غنی از پیروپ هستند که از نظر سنگنگاری، شیمی کانی و طیف‌سنجی رامان بررسی و رده‌بندی شدند. گارنت غنی از آلمندین با مقدار آهن بیشتر و ارتعاش‌های با عدد موج کمتر از 320 cm^{-1} ، گارنت غنی از گروسولار با آهن به نسبت کم و مقدار کلسیم بیشتر و بیشترین عدد موج بین 400 cm^{-1} و 650 cm^{-1} و گارنت غنی از پیروپ با منیزیم بیشتر و مقدار آهن کم و عدد موج بیش از 800 cm^{-1} دیده می‌شوند. بررسی سنگ‌زایی گارنت‌شیست‌های منطقه انجیرخواجه نشانگر سنگ مادر شیلی و ماسه سنگی برای آنهاست که در یک جایگاه جزایر کمانی قاره‌ای نهشته شده‌اند.

واژه‌های کلیدی: گارنت‌شیست؛ شیمی کانی؛ طیف‌سنجی رامان؛ پهنه دگرگونی سنندج-سیرجان

آندرادیت $\text{Ca}_3\text{Fe}_2\text{Si}_3\text{O}_{12}$ است [۱].

مقدمه

پیشینه

شناسایی ترکیب شیمیایی گارنت‌ها بسیار مورد توجه است، زیرا گارنت‌ها به طور گسترده در بسیاری از سنگ‌ها و رسوب‌ها پراکنده هستند. گارنت‌ها به طور کلی به صورت محلول جامدی از کانی‌ها یافت می‌شوند و به صورت اعضاً پایانی خالص کمیاب هستند که به محیط‌های ویژه زمین‌شناسی محدود می‌شوند [۲، ۳].

برای شناسایی کانی گارنت در گارنت‌شیست‌های شمال غربی معدن آهن گل گهر در پهنه دگرگونی سنندج-سیرجان، بررسی ریزپردازش الکترونی به همراه طیف‌سنجی رامان انجام شده است. این پژوهش، نتایج این بررسی‌ها را ارائه می‌دهد.

گروه کانی‌های گارنت در طیف گسترده‌ای از سنگ‌های آذرین و دگرگونی در گستره‌ی وسیعی از فشار و دما وجود دارند. فرمول استاندارد گارنت در حالت آرمانی $\text{X}_3^{2+}\text{Y}_2^{3+}(\text{SiO}_4)_3$ است. دو مجموعه شامل شش کانی رایج در گروه گارنت‌ها وجود دارد. در مجموعه پیرال اسپیت $\text{X} = \text{Mg}$ و $\text{Y} = \text{Al}$ ، $\text{Mg}_3\text{Al}_2\text{Si}_3\text{O}_{12}$ ، Fe^{2+} ، Mn (شامل کانی‌های پیروپ $\text{Mg}_3\text{Al}_2\text{Si}_3\text{O}_{12}$ و اسپیارتین $\text{Fe}_3\text{Al}_2\text{Si}_3\text{O}_{12}$) و در آلماندین $\text{Mn}_3\text{Al}_2\text{Si}_3\text{O}_{12}$ و در مجموعه اوگراندیت $\text{Y} = \text{Cr}$ ، Al ، Fe^{3+} و $\text{X} = \text{Ca}$ (شامل کانی‌های اووارویت $\text{Ca}_3\text{Al}_2\text{Si}_3\text{O}_{12}$ ، $\text{Ca}_3\text{Cr}_2\text{Si}_3\text{O}_{12}$ ، گروسولار)،

سیرجان شده است [۱۳-۱۵]. پهنه سندج-سیرجان شامل انواع مختلف سنگ‌های رسوی-آتشفسانی و سنگ‌های دگرگونی از انواع باروین و ابوکاما با سنین پالئوزوئیک و مزوژوئیک است [۱۶، ۷، ۴].

منطقه انجیرخواه در عرض جغرافیایی $29^{\circ}12'$ و $29^{\circ}28'$ شمالی و طول جغرافیایی $54^{\circ}18'$ و $55^{\circ}50'$ شرقی، با مساحت 30 کیلومتر مربع در 50 کیلومتری شمال غربی معدن گل گهر و غرب منطقه خیرآباد، شهر سیرجان، در جنوب شرقی پهنه دگرگونی سندج-سیرجان واقع است. سنگ‌های دگرگونی منطقه شامل مجموعه‌ای از سنگ‌هایی با خاستگاه آذربیان و رسوی هستند. سنگ‌های منطقه مورد بررسی به صورت ناحیه‌ای دگرگون شدند و در نتیجه انواع مختلفی از گارنت شیست‌ها، آمفیبولیت‌ها، پاراگنیس‌ها، متاپیازیت‌ها و متاکربنات‌ها ایجاد شده‌اند [۱۸] (شکل ۱).

این سنگ‌ها در رخساره شیست‌سبز تا رخساره آمفیبولیت دگرگون شده‌اند [۱۹] و از نظر سنی مربوط به پروتروزوئیک تا مزوژوئیک هستند [۲۰]. سنگ‌های گارنت شیست به صورت لایه‌ای در میان سنگ‌های کناری با ضخامت تا 5 متر، روند کلی N50E و شیب 35° NW تشکیل شده‌اند. همه سنگ‌ها با گسل‌های اغلب با روند NW-SE و N-S جایجا شده‌اند و بررسی روابط چینه‌شناسی اصلی آنها دشوار است. گارنت شیست‌ها و گارنت استارولیت شیست‌ها در این پژوهش برای تشخیص انواع گارنت‌ها با ریزپردازش الکترونی همراه با طیف سنجی رامان و همچنین برای تعیین شرایط دگرگونی، بررسی شدند.

گارنت‌های مورد بررسی از دو زیروحدت متفاوت هستند [۱۸]: (۱) گارنت شیست‌ها HRS-2 و HRS-17 در دو بخش از شمال و شرق منطقه مورد بررسی در زیر واحد با سن تریاس قرار دارند [۱۹]. این سنگ‌ها برآق با رنگ خاکستری هستند و در میان واحدهای متباذالت، مرمر، کوارتزیت، سنگ آهک و دولومیت دگرگون شده با ضخامت 10 سانتی متر در منطقه رخنمون دارند. سنگ‌ها در اثر فعالیت زمین‌ساختی خرد شده‌اند و به این دلیل، شیستوارگی در نمونه دستی دیده نمی‌شوند (شکل‌های ۲ الف و ب). (۲) گارنت-استارولیت شیست (HRS-220) در جنوب و در قدیمی‌ترین سنگ‌های زیروحد منطقه مورد بررسی همراه با اسلیت، فیلیت، شیست سبز و

طیف سنجی رامان و ریزپردازش الکترونی رویکرد امیدبخشی برای درک ویژگی‌های انتشار کاتیون برای گارنت‌ها طی دگرگونی را ارائه می‌دهند و یک روش مناسبی برای تفکیک کانی‌ها با ساختار ویا ترکیب شیمیایی مشابه هستند.

این پژوهش، سه هدف کلی خلاصه داشت: ۱) برای نخستین بار، ویژگی‌های شیمی و شیمی‌کانی کانی‌های سنگ‌ساز در سنگ‌های گارنت شیست از بخش جنوبی پهنه دگرگونی سندج-سیرجان در شمال غربی معدن آهن گل گهر شناسایی شد. ۲) توابع تجربی بین ویژگی‌های کانی شناسی و شیمیایی و الگوهای طیفی رامان از هر نوع گارنت معرفی شده در منطقه بررسی کردید. ۳) انواع سنگ‌ها و تکامل گارنت شیست‌ها برای درک زمین پویایی منطقه مورد بررسی تعیین شد.

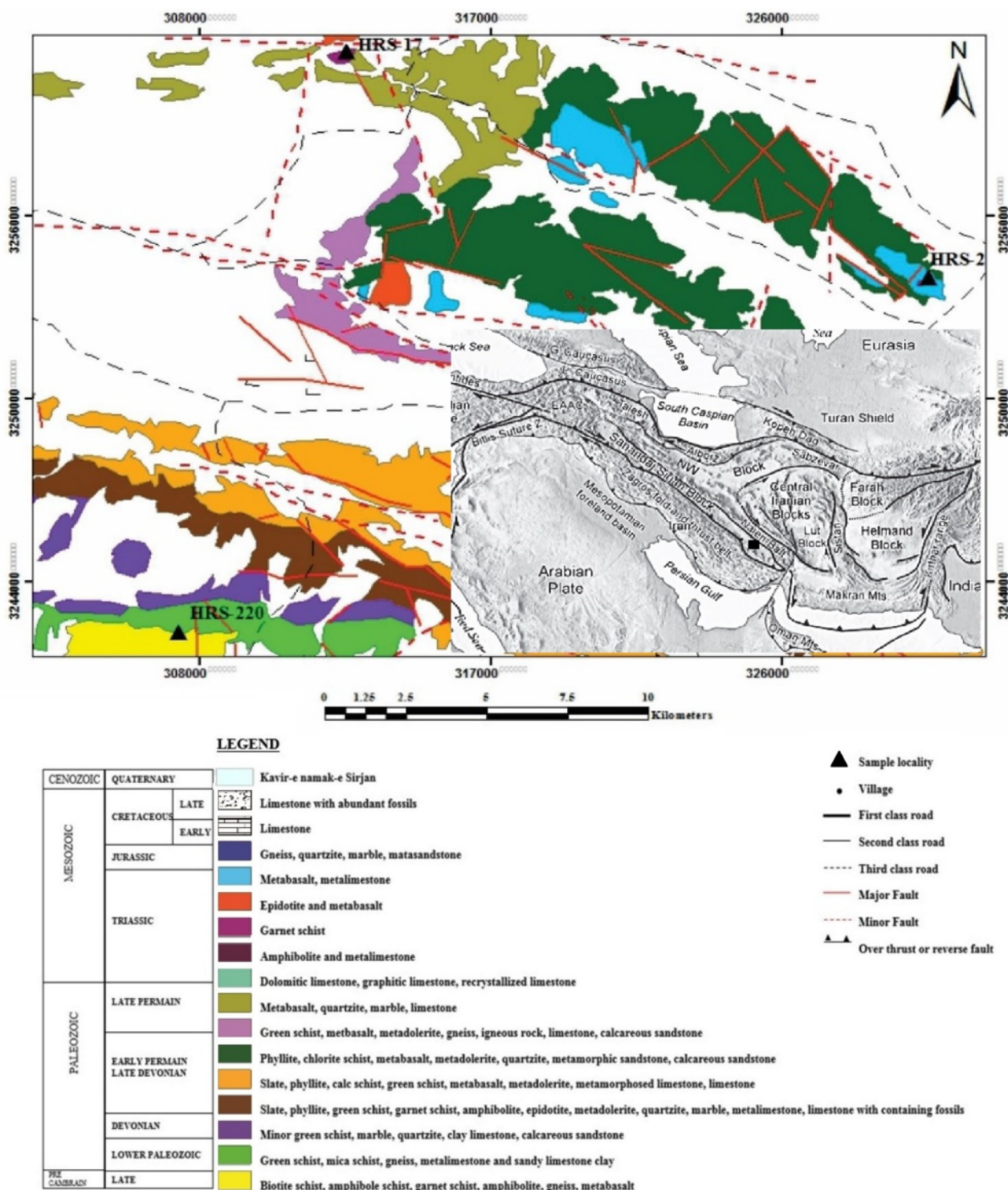
زمین شناسی منطقه

فلات قاره‌ای ایران در بخش مرکزی کمربند کوه‌زایی آلب-هیمالیا بین صفحه عربستان و اروپا واقع است که به چند واحد زمین ساختی اصلی تقسیم می‌شود؛ این منطقه با تاریخچه ساختاری متنوع و گسترش یافته از مراحل پیچیده صفحه‌های زمین‌ساختی که در اوایل پروتروزوئیک و در ترشیری تکامل یافته‌اند، شناخته می‌شود [۷-۴]. سه واحد برجسته با روند شمال غرب-جنوب شرق (NW-SE) عبارتند از کمربند چین خورده و رواندگی زاگرس، پهنه سندج-سیرجان و مجموعه ماقمایی ارومیه-دختر که به عنوان کمربند کوه‌زایی زاگرس شناخته می‌شود [۸-۱۲]. کمربند کوه‌زایی زاگرس و فلات قاره‌ای ایران تاریخچه همگرایی دارند که با مراحل فرورانش و بالارفتن صفحه‌ها آغاز شده و با برخورد دو صفحه به پایان می‌رسد.

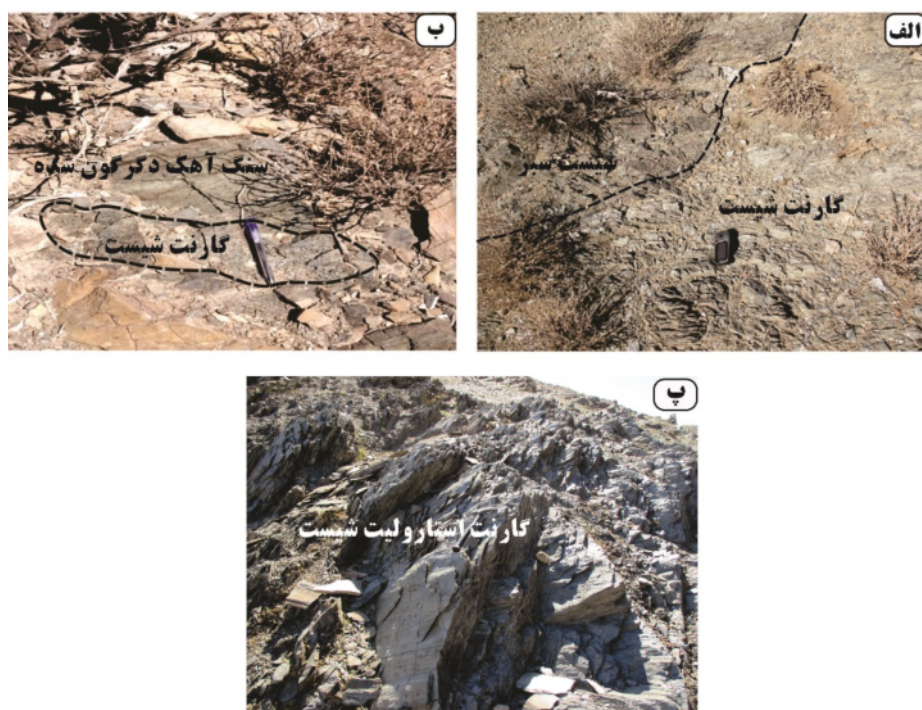
پهنه سندج-سیرجان با یک روند شمال غربی-جنوب شرقی با پهنهای بیش از 200 کیلومتر و طول 1600 کیلومتر در بخشی از فلات قاره ایران گسترش دارد. این پهنه بین کمربند رواندگی و چین خورده زاگرس در جنوب و جنوب غربی و مجموعه ماقمایی ارومیه-دختر در شمال و شمال شرقی قرار دارد. فرورانش اقیانوس نئوتیس بین صفحه‌های آفریقا-عربی و ایرانی و سپس برخورد قاره‌ای در دوره کرتاسه تا اوایل ترشیری باعث دگرگونی و فعالیت ماقمایی در پهنه سندج-

شده است. گارنت‌ها بسیار ریز هستند و با چشم غیر مسلح دیده نمی‌شوند. میزان دگرگونی در این واحد از سایر واحدها بیشتر است (شکل ۲پ).

آمفیبولیت‌های با سن پالئوزوئیک پیشین با ضخامت یک متر قرار دارند [۱۹]. این سنگ‌ها براق هستند و به علت جهت‌یابی کانی‌های بیوتیت و مسکوویت در سنگ، شیستوارگی ایجاد



شکل ۱ موقعیت منطقه مورد بررسی در نقشه واحدهای ساختاری ایران و نقشه زمین شناسی منطقه انجیرخواجه سیرجان، به همراه موقعیت نمونه‌های گارنت شیست.



شکل ۲ الف) مشخصات میدانی گارنت شیست (HRS-2)، ب) تصویر صحرایی گارنت شیست (HRS-17)، پ) رخنمون گارنت-استارولیت شیست (HRS-220) در منطقه.

که به مدت ۴-۵ برابر افزایش نسبت سیگنال به نویفه جمع آوری شده بودند، با یک آشکارساز چند کانالی اندازه‌گیری (FWHM) شدند. موقعیت و پهناوری کامل در نیم شدت بیشینه (FWHM) قله رامان با انجام اتصالات لورنتزیایی از طیف مورد نظر اندازه گیری شد. تعداد طول موج رامان با استفاده از خطوط انتشار 611cm^{-1} تغییر رامان با یک لامپ ثنوں اندازه گیری شد. عرض شکاف طیفی ۳ سانتی متر و میانگین دمای افق حدود $20/5$ درجه سانتی گراد بود. جزئیات بیشتر از روش تجزیه در مرجع [۲۱] شرح داده شده است.

سنگ نگاری

بررسی شکفته بلورها می‌تواند در تعیین رخدادهای دگرگونی، فازهای دگرگونی و بررسی زمین ساختی منطقه موثر باشد. کانی گارنت از فراوان ترین شکفته بلورها در انواع مختلف سنگ‌های دگرگونی است (جدول ۱).

بافت اصلی سنگ‌های دارای گارنت شکفته بلوری است. بافت ورقه شکفتی نیز به عنوان یک بافت فرعی در این سنگ‌ها وجود دارد. گارنت همراه با کوارتز، موسکوویت و بیوتیت کانی‌های اصلی تشکیل دهنده گارنت شیست‌ها هستند و کانی‌های کلریت، زیرکن، آپاتیت و کانی‌های کدر به عنوان کانی‌های ثانویه وجود دارند [۲۲].

روش بررسی
در بررسی‌های میدانی، بیش از ۳۰۰ نمونه از انواع سنگ‌های مختلف منطقه جمع آوری شد. ۳ مقطع نازک از نمونه‌های HRS-17 و HRS-220 (HRS-2) با کمترین تغییر (کمترین تغییر پلازیوکلаз به کانی‌های رسی) برای تجزیه به روش ریزپردازش الکترونی و طیف سنجی رامان انتخاب شدند.

تجزیه شیمیابی کانی‌ها بر روی مقاطع نازک صیقلی با ریزپردازشگر الکترونی (EPMA) مدل JEOL JXA-8900 در آزمایشگاه YAMAKATA در ژاپن با ولتاژ شتاب ۱۵ کیلوولت، جریان پرتو 20 نانومتر ، قطر پرتو حدود ۵ ریزمتر، حد تشخیص 0.05 درصد وزنی و فاصله شمارش تا ۴۰ ثانیه انجام شد. داده‌ها با استفاده از اکسید ZAF در XM-86 از برنامه JEOL PAC پردازش شدند.

طیفسنجی ریز رامان گارنت‌ها با دستگاه JASCO (با سه تکرنگ 60×3 سانتی متر) در آزمایشگاه رامان دکتر لیبویتزکی رنسیاو در دانشگاه وین انجام شد. خط ۴۸۸ نانومتری یک لیزر Ar بر یک ناحیه ۱ میکرومتر مربع از سطح نمونه با میکروسکوپ متراکر شد (پراکندگی هندسه ۱۸۰ درجه). قدرت لیزر 10 مگاوات در سطح نمونه بود. طیف‌های

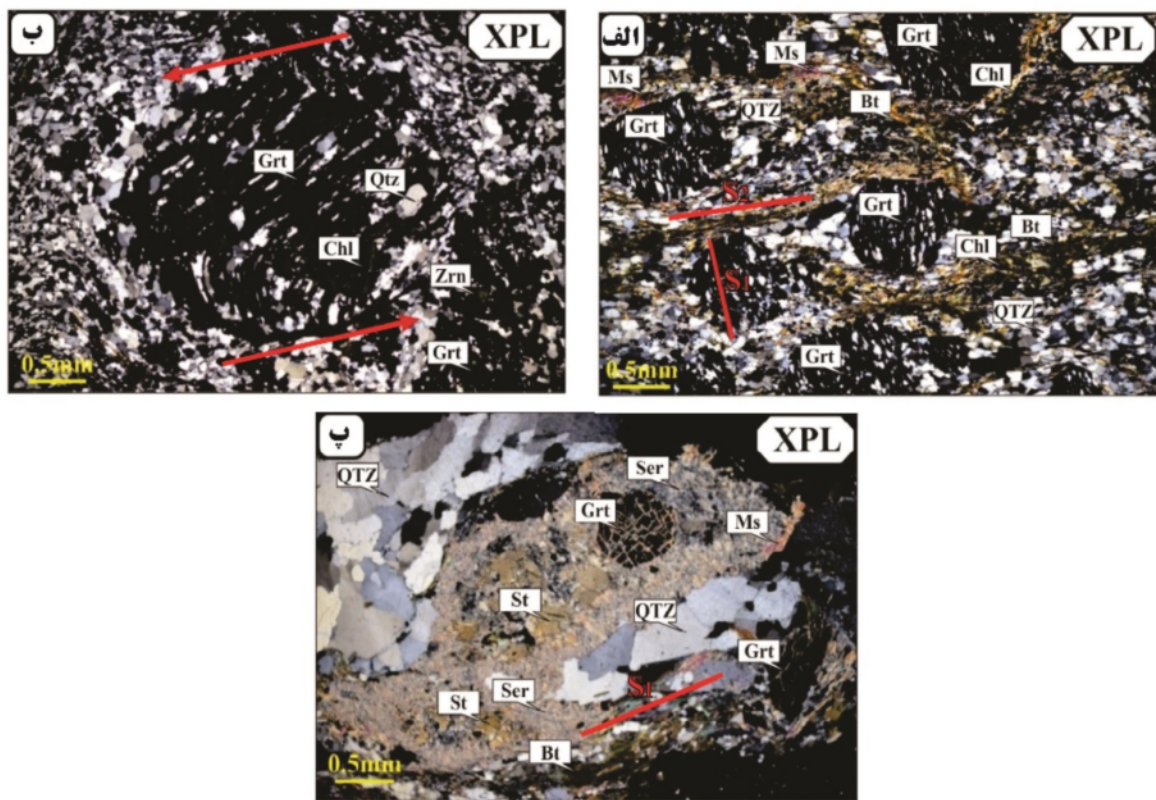
برگوارگی بعدی S_2 در سنگ با جهت‌گیری متفاوت از برگوارگی اولیه ایجاد شده است. لبه کرنشی نامتقارن از موسکویت، پلاژیوکلаз و کوارتز تشکیل شده است (شکل ۳ب). (۳) نسل سوم گارنت، گارنت‌های پس از زمین ساخت (Grt3) هستند که می‌توانند به آخرین مرحله رشد گارنت در فاز دگرگونی S_1 نسبت داده شوند. این نوع گارنت فقط در پهنه دگرگونی استارولیت دیده می‌شود. گارنت‌ها بی‌شک، بسیار خرد شده و گرد شده هستند و محل شکستگی‌های درون گارنت با موسکویت پر شده است (شکل ۳پ).

بررسی ریزسکوپی نمونه‌های دارای گارنت، سه نسل از گارنت را نشان می‌دهد که هر یک با یک فاز دگرگونی و زمین ساختی در ارتباط هستند. (۱) نسل اول گارنت دارای الگوی میانبارهای چرخشی (Grt1) است. در این گارنت‌ها، هیچ گسستگی بین برگوارگی داخلی و زمینه وجود ندارد و لبه کرنشی نامتقارن [۲۲] نشان دهنده تبلور همزمان گارنت‌های S_1 (همزمان با زمین ساخت) است که در طی شکل‌گیری چرخیده‌اند [۲۴] (شکل ۳الف). (۲) نسل دوم گارنت‌های بین دو فاز زمین ساختی (Grt2) هستند که همزمان با S_1 برگوارگی دو رشد کرده و میانبارهای زمینه را در خود حفظ کرده‌اند و اولیه رشد کرده و میانبارهای زمینه را در خود حفظ کرده‌اند.

جدول ۱ گردنه‌های کانی‌های گارنت شیست و گارنت-استارولیت شیست در منطقه مورد بررسی.

Op	Zm	Tur	Sd	Ser	Chl	Fsp	Pl	St	Grt	Ms	Bt	Qtz	طول غرافیایی عرض غرافیایی	نوع سنگ	شماره نمونه	
X, X(Inc)	O	O	Xret		Xret, X(Inc)				X	X, X(Inc)	X	X, X(Inc)	۲۹°۲۴'۱۰"	۵۵°۱۵'۱۱"	گارنت شیست	H-۲
X, X(Inc)	O				Xret, X(Inc)				X	X, X(Inc)	X, X(Inc)	X, X(Inc)	۲۹°۲۸'۰۱"	۵۵°۰۴'۰۱"	گارنت شیست	H-۱۷
X	O	O		Xret	Xret	X	X	X	X	X	X	X	۲۹°۱۷'۴۱"	۵۵°۰۱'۰۰"	گارنت استارولیت شیست	H-۲۲۰

X: کانی اصلی، O: کانی فرعی، Xret: کانی دگرسانی، X(Inc): کانی ادخی
علامت اختصاری کانی‌ها برگرفته از (2007) J. Siivola & R. Schmid

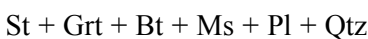


شکل ۳ (الف) گارنت شیست‌ها در شرق منطقه به عنوان شکfte بلورهای بین زمین ساختی با بافت غربالی، (ب) گارنت شیست‌ها در بخش شمالی منطقه مورد بررسی با حالت گله‌های برفی، (پ) گارنت-استارولیت شیست در منطقه مورد بررسی و شکfte بلورهای درشت و شکسته شده استارولیت، که به صورت همزمان با زمین ساخت متابلور شده‌اند. (Grt: گارنت؛ St: استارولیت؛ Bt: بیوتیت؛ Ms: موسکویت؛ Chl: کلریت؛ Qtz: کوارتز؛ Zrn: زیرکن).

بیشتر شامل کوارتز + ایلمنیت هستند، اما گاه گارنت نیز بر روی استارولیت وجود دارد (شکل ۳پ). حضور گارنت در داخل استارولیت نشان می‌دهد که گارنت پس از استارولیت و یا هم-syn-D₂ زمان با آن رشد کرده است. بنابراین استارولیت نیز D₂ است. دانه‌های استارولیت در بخش‌هایی از سنگ رشد کرده‌اند که سیلیکات‌های صفحه‌ای چون بیوتیت و مسکوویت فراوان هستند بنابراین ترکیب سنگ مادر در رشد آن‌ها مهم بوده است.

[۲۶]

بلورهای گارنت و استارولیت در این همبازایی‌ها دانه درشت هستند و در زمینه حضور دارند (همبازایی [۵]). آن‌ها نیز دارای دربرداری‌های کمی و همه ناشی از رشد در طول syn-D₂ هستند. در سنگ‌های رسی با درجه دگرگونی بالا، بلورهای استارولیت بشدت تحلیل رفته‌اند و فقط به صورت دربرداری در دانه‌های سرسیت، پلاژیوکلаз و کوارتز وجود دارند (شکل ۳پ). این سنگ‌ها فقط شامل همبازایی



رخساره آمفیبولیت زیرین [۵]

همراه با مقدار بسیار کمی کلریت در لبه‌های دیگر کانی‌ها و در زمینه هستند. تشخیص اینکه کلریت‌های زمینه از واکنش‌های پیشرونده یا پیشرونده ایجاد شده‌اند بسیار مشکل است. کانی‌های بیوتیت + مسکوویت + پلاژیوکلاز + کوارتز + ایلمنیت + روتیل در زمینه وجود دارند. چنین همبازایی کانی‌ای در شرایط اوج دگرگونی در سنگ‌های گارنت استارولیت شیست منطقه انجیرخواجه دیده شده است.

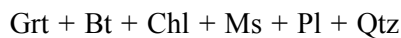
نتایج

تاریخچه واکنش‌های دگرگونی

گردهمایی کانی‌ای عمدۀ دگرگونی ناحیه‌ای در گارنت شیست های منطقه انجیرخواجه به صورت زیر است:



[۱] رخساره شیست سبز بالایی



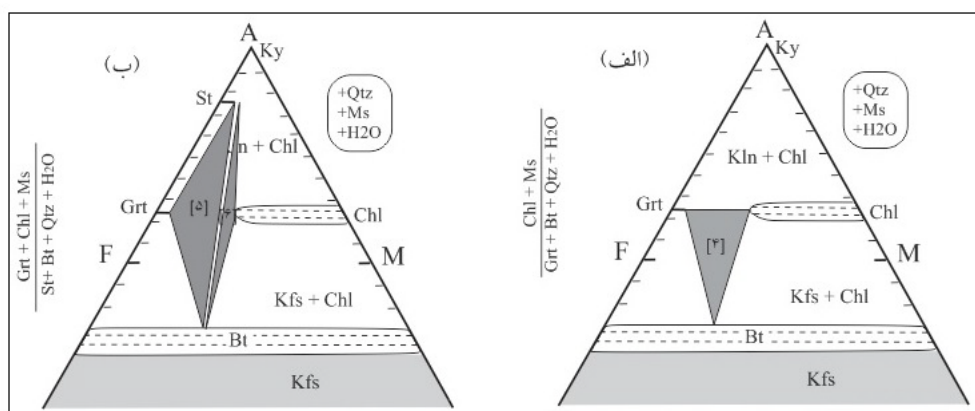
[۲] رخساره اپیدوت آمفیبولیت

وجود کلریت، مسکوویت، بیوتیت و گارنت در گارنت شیست‌ها پیشنهاد می‌دهد که به احتمال بسیار گارنت با واکنش‌های پیوسته (واکنش‌هایی که معاوضه کاتیونی در گستره دمایی – فشاری گسترده انجام شده و در دو سمت معادله کانی‌های وجود دارند که با هم معاوضه کاتیونی گسترده‌ای دارند) آب‌زادایی زیر تولید شده باشد [۲۵] (شکل ۴ الف).



دانه‌های گارنت غربالی هستند و در طول syn-D₂ تشکیل شده‌اند. آن‌ها از آلماندن غنی و دارای منطقه‌بندی مشخصی در ترکیب شیمیایی از مرکز به سمت لبه هستند. این واکنش‌ها در دماهای بالاتر نیز می‌توانند باعث تولید گارنت و بیوتیت در گارنت شیست‌های درجه بالاتر شوند. واکنش‌های (۳) و (۴) در رخساره شیست سبز بالایی رخ داده‌اند.

استارولیت به صورت دانه‌های درشت و غربالی در راستای برگوارگی دیده می‌شود. دنباله‌های دربرداری در آن‌ها بیشتر سینوسی هستند و به برگوارگی زمینه می‌رسند. دربرداری‌ها

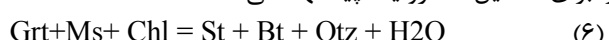


شکل ۴: روابط شیمی نگاشتی نمودارهای فازی ترکیبی AFM برای سنگ‌های متاسدیمنت منطقه انجیرخواجه: (الف) گارنت شیست، (ب) گارنت استارولیت شیست. خط‌چین‌ها نشان دهنده واکنش‌های واکنش کننده هستند. اعداد در کروشه همبازایی‌ها را معرفی می‌نماید.

است. تجزیه گارناتهای مجموع کل را از ۹۸,۵۶ تا ۱۰۲,۰۹ درصد وزنی نشان می‌دهد. گارناتهای ۳۶,۷۹ تا ۳۹,۸۰ درصد وزنی در SiO_2 ، Al_2O_3 و CaO تا ۲۲,۴۱ درصد وزنی در FeO و MgO تا ۰,۰۰ درصد وزنی در TiO_2 متفاوت هستند.

نمودارهای $\text{Fe}_2\text{O}_3/\text{MgO}$ نسبت به SiO_2 (شکل ۵) نشان می‌دهد که گارنت شیستهای HRS-2, HRS-2، دارای $\text{Fe}_2\text{O}_3/\text{MgO}$ بالا و $\text{Al}_2\text{O}_3/\text{MgO}$ کمی هستند. آن‌ها می‌توانند یک محلول جامد بین آلماندین و گروسوالر باشند. گارنت استارولیت شیستهای (HRS-220) با $\text{Al}_2\text{O}_3/\text{MgO}$ بالا مشخص می‌شوند که می‌توانند محلول جامد آلماندین-پیروب باشند.

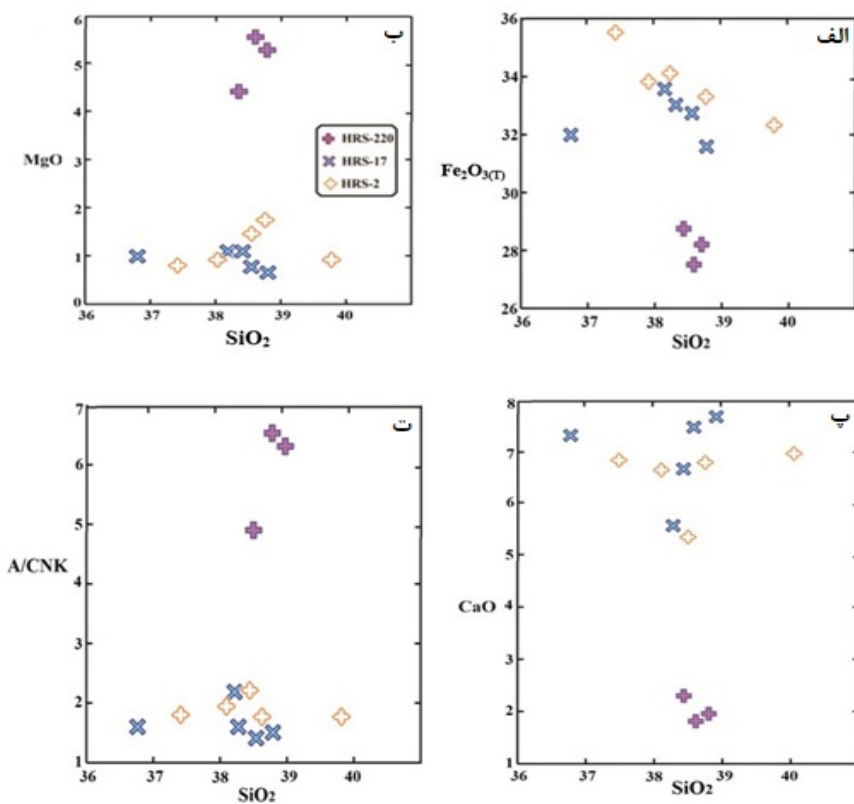
وجود دربرداری‌های گارنت و ایلمنیت در استارولیت همراه با کلریت، مسکوویت، پلازیوکلاز و کوارتز در زمینه (همبرزایی [۶]؛ نمودارهای فازی ترکیبی شکل ۴ ب) واکنش ناپیوسته زیر را برای تشکیل استارولیت پیشنهاد می‌کند:



(واکنش ناپیوسته واکنشی مربوط به گسترده‌های دمایی-فشاری ویژه است که در آن کانی‌هایی که معاوضه کاتیونی محدودی دارند یا ندارند، چون St , Pl , Ky ، در یک سمت معادله قرار می‌گیرند). از آنجا که پهنه استارولیت گسترش زیادی در منطقه ندارد، استارولیت به سرعت کاهش می‌یابد. واکنش (۶) در رخساره آمفیبولیت زیرین رخداده است.

شیمی کانی گارنت

نتایج تجزیه گارنت که در جدول ۱ آورده شده است [۱۸]، طیف گسترده‌ای از ترکیب عناصر اصلی را نشان می‌دهد. اندازه گیری‌ها بر دههای نقطه از شکافته بلورهای گارنت انجام شده



شکل ۵ نمودارهای مقایسه‌ای گارنت شیست و گارنت-استارولیت شیست از منطقه انجیرخواجه: (الف) نمودار $\text{SiO}_2/\text{Fe}_2\text{O}_3(\text{T})$ نسبت به SiO_2 ، که نشان می‌دهد که گارنت شیستهای دارای بیشترین $\text{Fe}_2\text{O}_3(\text{T})$ و گارنت-استارولیت شیستهای دارای موقعیت برعکس هستند. (ب) نمودار SiO_2/MgO نسبت به MgO براساس آن گارنت شیستهای MgO بالاتری دارند. (پ) نمودار SiO_2/CaO نسبت به CaO که بر پایه آن گارنت شیستهای دارای CaO بالاتری نسبت به گارنت-استارولیت شیستهای هستند. (ت) نمودار $\text{SiO}_2/\text{Al}_2\text{O}_3/\text{CaO}+\text{Na}_2\text{O}+\text{K}_2\text{O}$ که نشان می‌دهد که گارنت-استارولیت شیستهای دارای $\text{Al}_2\text{O}_3/\text{CaO}+\text{Na}_2\text{O}+\text{K}_2\text{O}$ هستند.

در این پژوهش فرض می‌شود که در گروه گارنت، قلهای رامان نشان‌دهنده یک حالت رفتاری بوده و در محلول جامد گارنت، بسامدهای مختلف رامان ترکیبی خطی از بسامدهای اعضا پایانی بر اساس وزن مولکولی آن‌ها باشد [۳۲-۳۷].

طیف‌های رامان گارنت‌ها عموماً به دو ناحیه تقسیم می‌شوند: ارتعاش‌های خارجی زیر 400 cm^{-1} و ارتعاش‌های داخلی بالای 400 cm^{-1} . بخش اول ناحیه ارتعاش‌های خارجی تا 320 cm^{-1} ، مربوط به چاروچهی SiO_4 و جابجایی کاتیون‌های دو ظرفیتی است. بین 320 تا 400 cm^{-1} ، ارتعاش واحدهای SiO_4 دیده می‌شود. در ناحیه مربوط به چاروچهی‌های SiO_4 ارتعاش‌های داخلی بین 400 تا 650 cm^{-1} مربوط به حالت‌های خمی $\text{O}-\text{Si}-\text{O}$ مشخص است، در حالی که حالت‌های کششی $\text{Si}-\text{O}$ در عدد موج‌های بالاتر از 800 cm^{-1} یافت می‌شوند [۳۱، ۳۸].

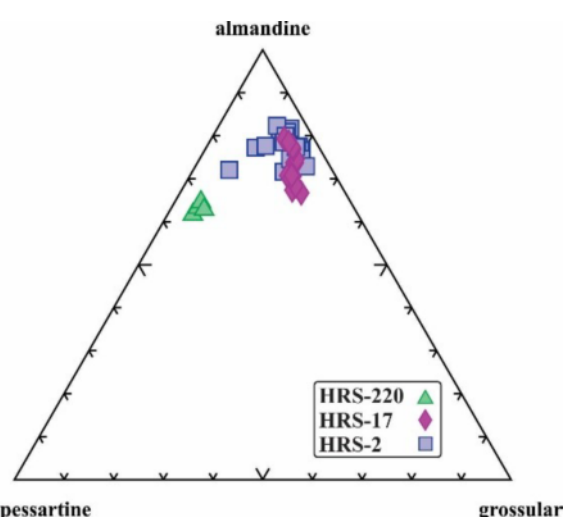
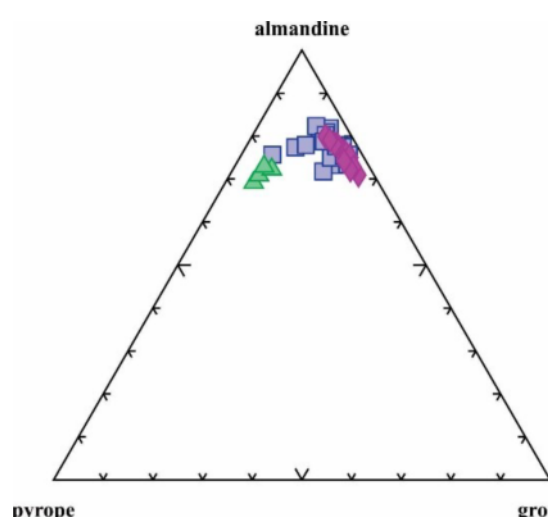
حدود ۱۰ بلور کانی گارنت از نمونه‌های گارنت در منطقه انجیرخواجه سیرجان برای طیف سنجی رامان انتخاب شدند (شکل ۷). در بررسی‌های رامان برای بیش از ۵۰ نمونه جدا شده، ۳ قله شدیدتر با عدد موج زیر 1033 cm^{-1} به دست آمد. بر اساس اندازه‌گیری‌های بسیار، موقعیت قله‌ها در گستره گستردگی از طول موج‌ها در جدول ۲ ارائه شده است.

ترکیب متوسط گارنت در گارنت شیستهای HRS-2، HRS-17 (HRS-2) بیشتر به صورت آلماندین است. گستره عضو پایانی نمونه HRS-2 Alm72-81Prp2-20Sps0-3 Grs7-22، HRS-17 Alm67-78Prp3-5Sps1-7Grs16-، HRS-220 (HRS-220) بیشتر یک محلول جامد بین آلماندین و پیروپ هستند- (Alm61-64Prp17-22Sps11-13 Grs5-7)

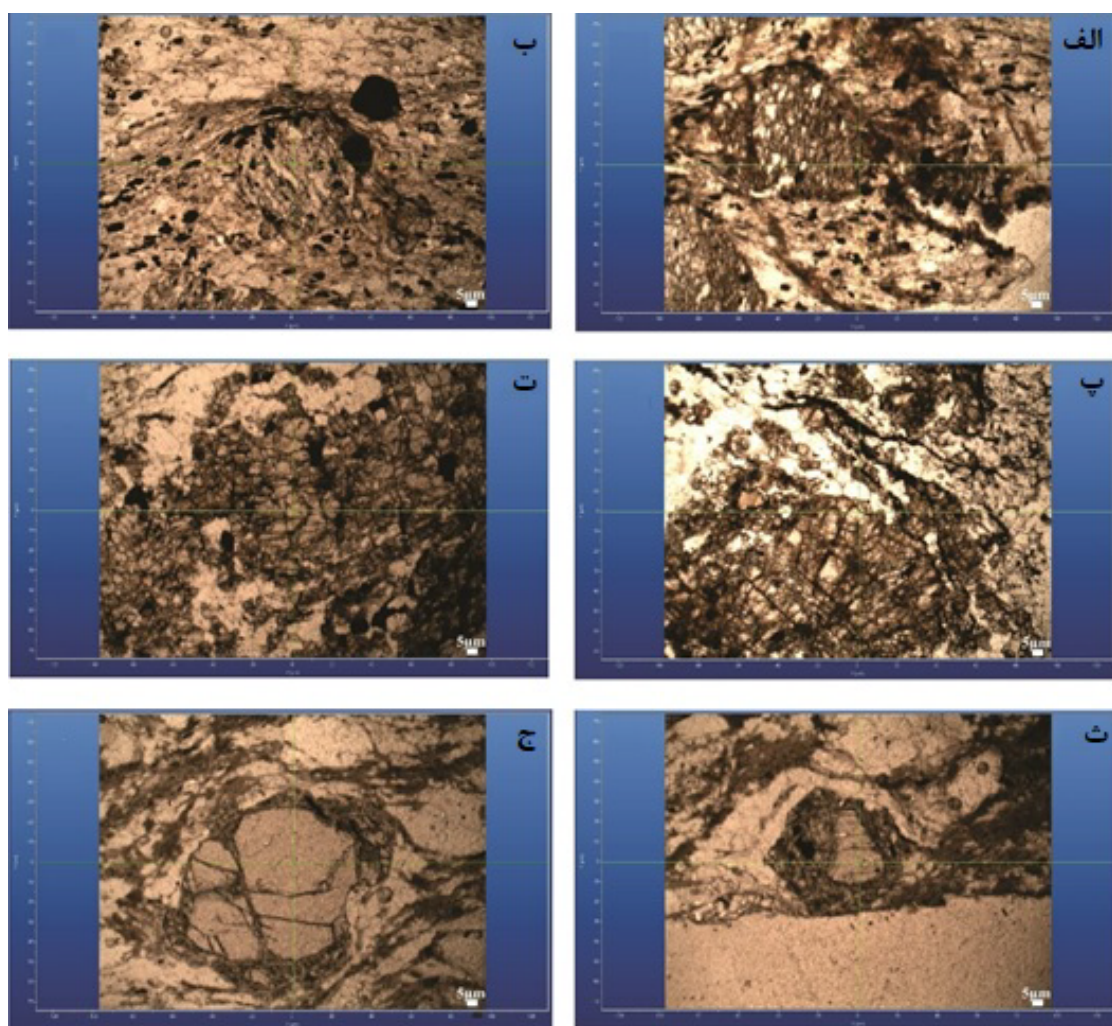
با توجه به نمودارهای سه گانه Gr-Al-Py-Gr و Al-Sp+Py-Gr [۲۷]، ترکیب گارنت از گارنت شیستهای در نمونه‌های HRS-2 و HRS-17 بیشتر محلول جامد آلماندین و HRS-220 بیشتر محلول جامد آلماندین-پیروپ است. ترکیب غالب هر دو آلماندین است (شکل ۶).

طیف سنجی رامان

پژوهش پیرامون گارنت‌های غیرسیلیکاتی که فناوری کاربردهای مهمی دارند در دهه ۱۹۶۰ آغاز شد. نخستین بررسی دقیق رامان در مورد گارنت [۱۹۶۸-۱۹۶۹] [۲۸، ۲۹] انجام شد. سپس گارنت‌های سیلیکاتی ($\text{X}_3\text{Y}_2\text{Si}_3\text{O}_{12}$) که از نظر زمین‌شناسی دارای اهمیت هستند، [۳۰-۳۳] بررسی شدند.



شکل ۶ موقعیت گارنت‌ها در نمودارهای مثلثی Al-Sp+Py-Gr و Al-Py-Gr و Gr-Al-Py-Gr ایجاد شده براساس آنها ترکیب غالب گارنت‌ها آلماندین است.



شکل ۷ تصاویر ریز رامان گارنت‌ها در گارنت شیست منطقه انجیرخواه، (الف، ب، ت) نمونه HRS-17 و (ب، ج) نمونه HRS-220

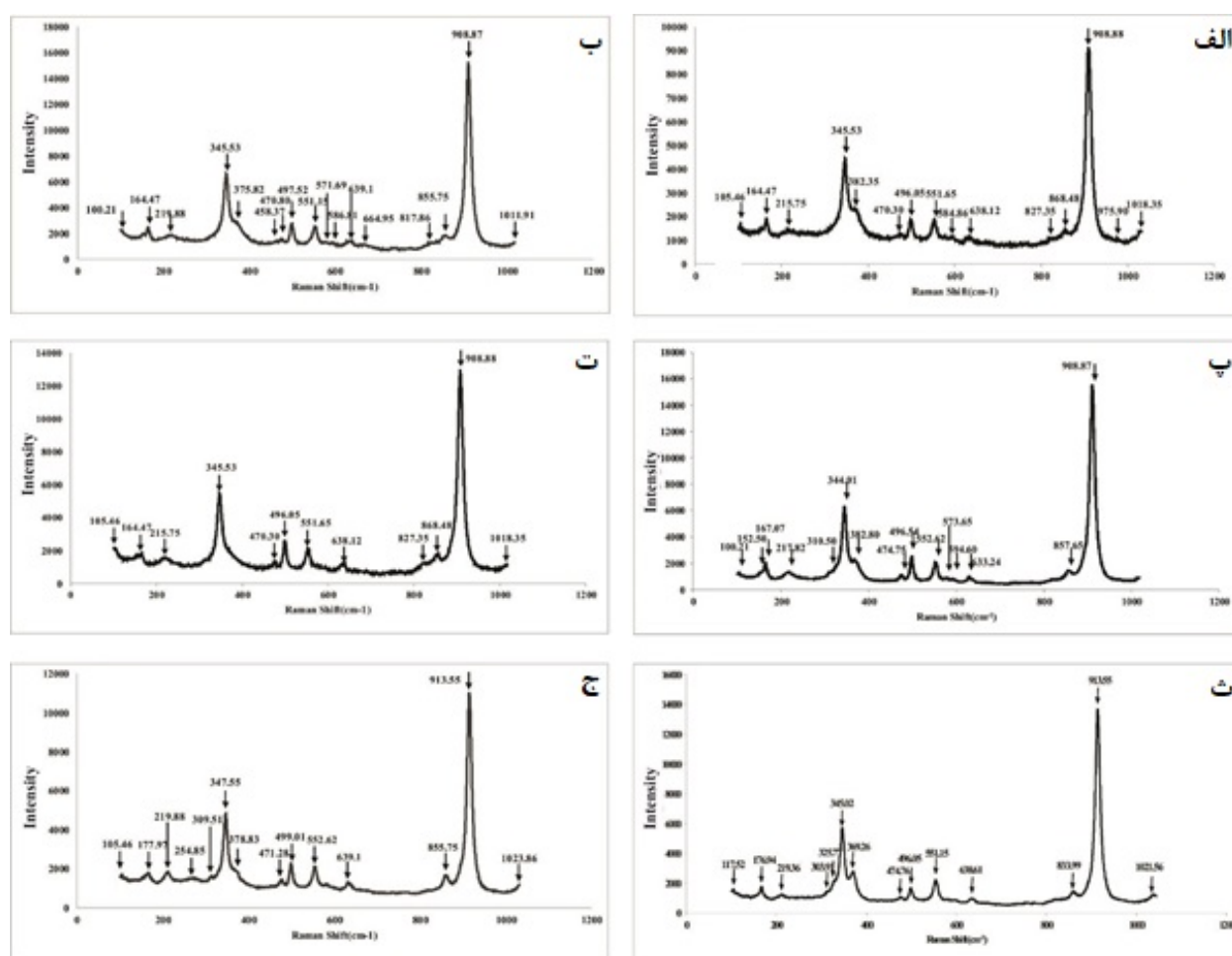
جدول ۲ خلاصه آمار تعداد طول موج‌های رامان در (cm^{-1}) از چهار پیک اصلی گارنت شیست (HRS-2) و (HRS-17) و گارنت-استارولیت شیست (HRS-220).

	۳۲۰ > پیک	۳۲۰-۴۰۰ پیک	۴۰۰-۶۵۰ پیک	۸۰۰ < پیک	شماره نمونه
بیشترین	۲۱۹,۸۸	۴۳۵,۰۲	۴۷۰,۳	۸۱۷,۸۶	HRS-۲
کمترین	۱۰۰,۲۱	۲۸۲,۳۵	۶۳۸,۱۲	۱۰۱۸,۳۵	HRS-۲
میانگین	۱۶۴,۴۷	۳۴۵,۵۳	۵۵۱,۶۵	۹۰۸,۸۷	HRS-۲
<hr/>					
بیشترین	۳۱۰,۵	۳۸۲,۸	۴۷۰,۳	۱۰۱۸,۳۵	HRS-۱۷
کمترین	۱۰۰,۲۱	۳۴۴,۰۱	۶۳۸,۱۲	۸۲۷,۳۵	HRS-۱۷
میانگین	۲۱۵,۷۵	۳۴۵,۵۳	۵۵۲,۶۲	۹۰۸,۸۸	HRS-۱۷
<hr/>					
بیشترین	۳۰۹,۵۱	۳۷۸,۸۳	۴۷۱,۲۸	۱۰۲۳,۸۶	HRS-۲۲۰
کمترین	۱۰۵,۴۶	۳۲۵,۷	۶۳۸,۶۱	۸۳۲,۹۹	HRS-۲۲۰
میانگین	۲۱۹,۸۸	۳۴۷,۵۵	۵۵۱,۱۵	۹۱۲,۵۵	HRS-۲۲۰

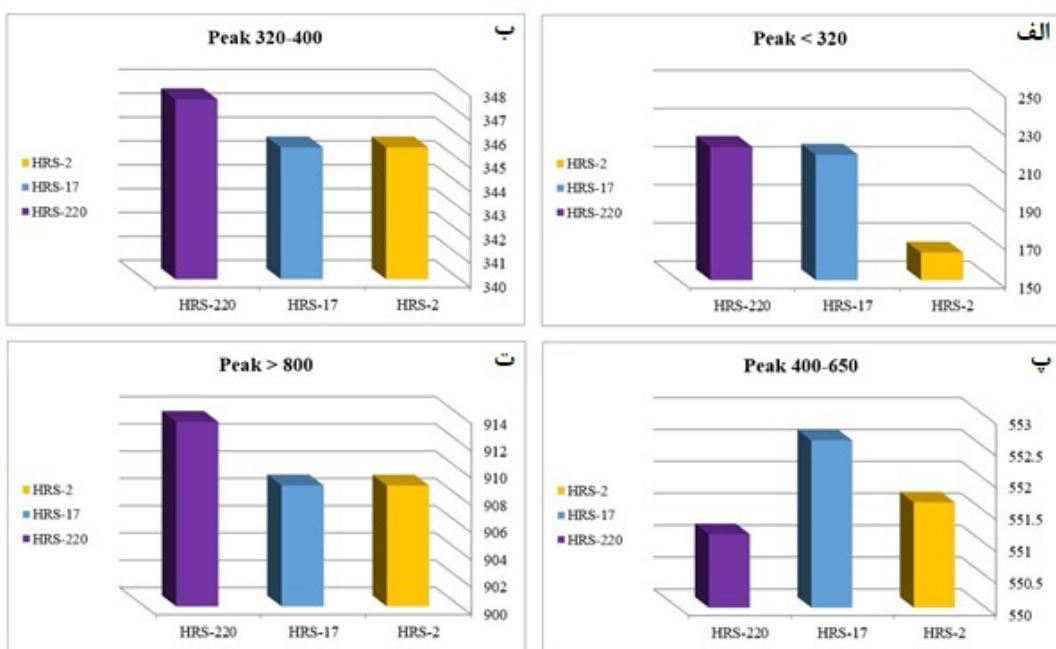
جابجایی کاتیون‌های دو ظرفیتی است. نوع غنی از گروسوپار مقدار آهن به نسبت کم، مقدار کلسیم بیشتر و شدیدترین قله در عدد موج‌های بین 400 cm^{-1} تا 650 cm^{-1} دارد و بیانگر حالت‌های خمی O-Si-O است که Ca^{2+} به دلیل شباهت در اندازه و جرم جایگزین Fe^{2+} در جایگاه موقعیت X می‌شود. نوع غنی از پیروپ دارای منیزیم بیشتر، آهن کمتر و شدیدترین قله در عدد موج‌های بالاتر از 800 cm^{-1} و نشان‌دهنده حالت‌های کششی Si-O است که Mg^{2+} به دلیل شباهت با Fe^{2+} در اندازه و جرم در جایگاه X جایگزین می‌شود. تقریباً همه نمونه‌های گارنت یک محلول جامد از دو حالت رفتاری آلماندین-گروسوپار و آلماندین-پیروپ را نشان می‌دهند (شکل ۹).

طیف رامان گارنت‌های منطقه مورد بررسی شامل سه قله با بیشترین شدت به ترتیب در حدود 350 cm^{-1} ، 550 cm^{-1} و 900 cm^{-1} است که به ترتیب مربوط به ارتعاش‌های کششی (Si-O)، ارتعاش‌های خمی (Si-O) و ارتعاش‌های چرخشی $\text{R}(\text{SiO}_4)^4$ هستند [۳۸]. این خطوط مربوط به ترکیب شیمیایی گارنت هستند (شکل ۸).

سه نسل از کانی‌های گارنت غنی از آلماندین، غنی از گروسوپار و غنی از پیروپ در سنگ نگاری، شیمی کانی و طیفسنجی رامان بررسی و رده‌بندی شدند. نوع غنی از آلماندین دارای مقدار آهن بیشتر و کمترین قله در عدد موج زیر 320 cm^{-1} نشان دهنده کمترین چاروچه‌های SiO_4 و



شکل ۸ طیف ریز رامان گارنت‌ها در گارنت شیست منطقه انجیرخواجہ، الف، (ب) نمونه HRS-2، (پ، ت) نمونه HRS-17 و (ث، ج) نمونه HRS-



شکل ۹ نمودارهای ستونی موقعیت‌های پیک‌های رامان. رنگ‌های مختلف نشانگر انواع مختلف گارنت هستند. الف، ب، ت و پ به ترتیب کمتر از 320 cm^{-1} , $400\text{-}650\text{ cm}^{-1}$, $> 800\text{ cm}^{-1}$ و بیشتر از $320\text{-}400\text{ cm}^{-1}$ را نشان می‌دهند.

بسته شدن حوضه پالئوتیس در شمال منجر به باز شدن نئوتیس شده است [۴، ۴۵]. شکل‌گیری و سپس گسترش اقیانوس نئوتیس از پرمین تا تریاس رخ داده است. توالی سنگی وابسته با گسترش نئوتیس بیشتر مربوط به اوخر تریاس در پهنه دگرگونی سندنج-سیرجان است. فرورانش اقیانوس نئوتیس در اوخر تریاس تا کرتاسه منجر به تغییر شکل، دگرگونی و ناپیوستگی در زیر واحدهای کرانه قاره‌ای شد و سپس با تغییر شکل به پایان رسید [۱۶].

سنگ‌های منطقه مورد بررسی شامل مجموعه‌ای از سنگ‌های دگرگونی با خاستگاه آذربین و رسوی هستند. طی آمیبیولیت‌ها، متبازیت‌ها، سرپانتینیت‌ها، گنیس‌ها، کوارتزیت‌ها و مرمرها دگرگون شده‌اند. بعضی از سنگ‌ها به دلیل اثر چند فاز دگرگونی در گستره‌ای از رخساره‌های شیست سبز، رخساره‌های اپیدوت آمیبیولیت و رخساره‌های آمیبیولیت دگرگون شده‌اند.

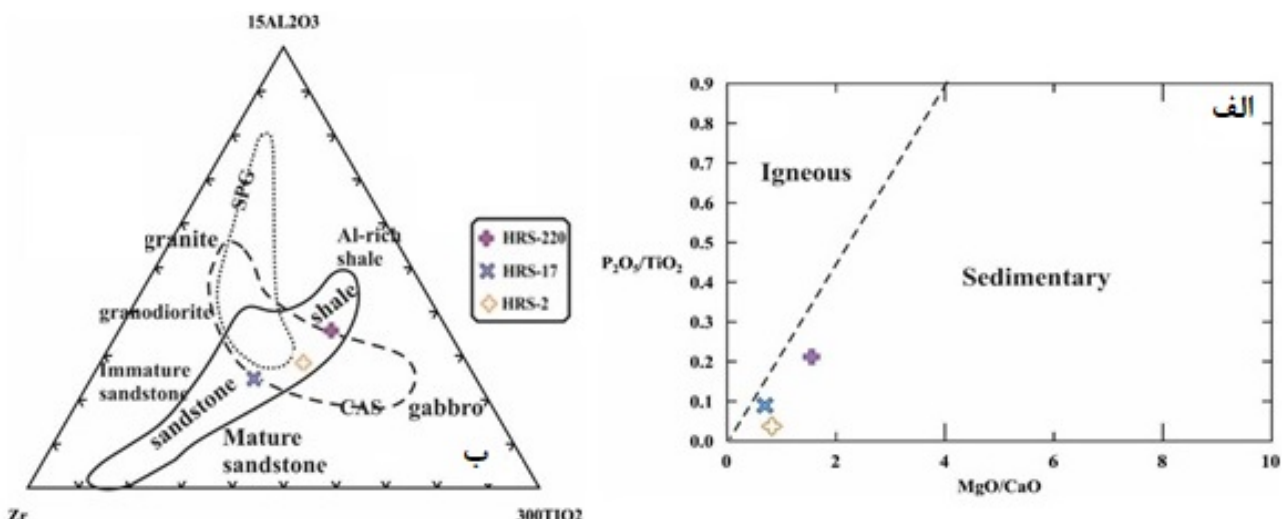
در اثر کوهزایی سیمیرین پیشین، سنگ‌های مادر رسوی پلتیک و سمی پلتیک در منطقه انجیرخواجه، دستخوش دگرگونی در حد رخساره شیست بالایی تا رخساره آمیبیولیت زیرین شده‌اند.

زمین شیمی و محیط زمین ساختی متاسدیمنت‌ها بر اساس نمودار MgO/CaO نسبت به $\text{P}_2\text{O}_5/\text{TiO}_2$ [۳۹] سنگ خاستگاه گارنت شیست‌ها رسوی است (شکل ۱۰ الف). رده بندی سنگ‌های رسوی بر اساس Ti و Zr [۴۰] ترکیب رسوب‌های اولیه در منطقه را به عنوان شیل و ماسه‌سنگ ارزیابی می‌کند (شکل ۱۰ ب).

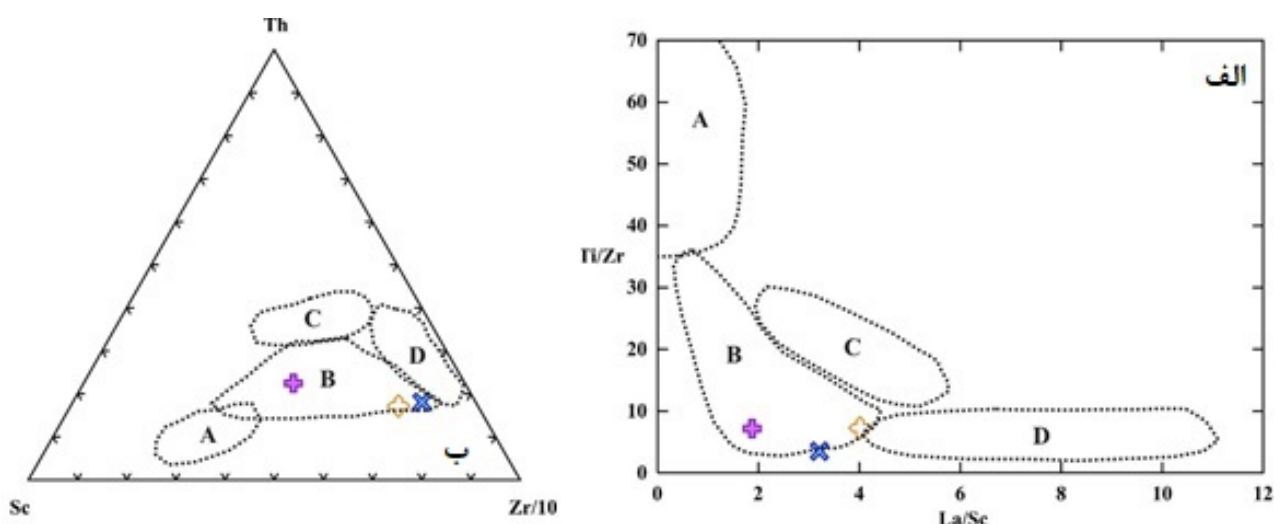
جایگاه زمین‌ساختی گارنت شیست‌ها بر پایه عناصر فرعی و کمیاب تعیین می‌شود. از عناصر کمیاب برای توصیف محیط‌های جزایر قوسی اقیانوسی (OIA)، جزایر قوسی قاره‌ای (PM)، کرانه قاره‌ای فعال (ACM) و کرانه غیرفعال (CIA) استفاده شد. براساس نمودارهای Ti/Zr و La/Sc گارنت شیست‌های مجموعه دگرگونی Sc-Th-Zr/10 انجیرخواجه در جایگاه جزایر قوسی قاره‌ای قرار دارند [۴۱] (شکل ۱۱).

بحث و بررسی

ساخთارهای اصلی پهنه سندنج-سیرجان طی سه رویداد مهم فرورانش بخش شمال شرقی صفحه عربستان زیر صفحه مرکزی ایران، تشکیل افیولیت‌های کمربند سندنج-سیرجان و سرانجام برخورد قاره‌ای بین دو صفحه در میوسن شکل گرفته‌اند [۷]. تکامل پهنه سندنج-سیرجان با باز و بسته شدن نئوتیس در کرانه جنوب شرقی گندوانا کنترل شده است [۴۲، ۴۳].



شکل ۱۰ الف) نمودار تشخیصی سنگ‌های رسوبی و آذرین [۳۶]؛ که براساس آن نمونه‌ها در گستره رسوبی قرار دارند. ب) رسوب‌های اولیه گارنت شیسته‌ها در منطقه شیل و ماسه سنگ در نمودار سه تابی Zr-Al-Ti [۳۷].



شکل ۱۱ الف) نمودار Ti/Zr نسبت به $Sc/Th-Zr/10$ برای تشخیص محیط زمین ساختی [۳۸] که براساس آن گارنت شیسته‌ها در جایگاه جزایر قوسی قاره ای قرار دارند. (A: جزیره قوسی اقیانوسی، B: جزیره قوسی قاره ای، C: کرانه قاره ای فعال و D: کرانه غیرفعال).

است. در اثر این دگرشکلی، برگوارگی S_2 با ایجاد شیستوارگی موازی با سطح محوری چین‌های مرحله دوم گسترش یافته است. اوج دگرگونی و رشد شکفته بلورها در اثر این رخداد بوده است.

سنگ‌های رسوبی پلتیک و سمی پلتیک دگرگون شده به دلیل وجود بسیاری از کانی‌های مهم چون گارنت برای تعیین شرایط دگرگونی بررسی شدند. در این نوع سنگ‌ها، پنهنه‌های دگرگونی و گردھماجی کانی‌ها در شرایط مختلف ترمودینامیکی

توالی سنگ‌های حوزه رسوبی خیرآباد، در معرض دو رخداد دگرگونی (M_1 , M_2) و دو فاز دگرشکلی (D_1 , D_2) قرار گرفته‌اند. با اثر نیروهای زمین‌ساختی ناشی از فاز کوهزایی M_1 سیمرین پیشین، فاز دگرشکلی D_1 که با رخداد دگرگونی همراه است، باعث ایجاد برگوارگی S_1 موازی با سطح محوری چین‌های مرحله اول شده است. سپس در اثر کوهزایی سیمرین پسین عملکرد فاز دگرشکلی فشارشی باعث گسترش دگرشکلی D_2 و چین‌خوردگی شدید و ایجاد رخداده دگرگونی M_2 شده

اساس تفاوت زیاد در اندازه و جرم بین کاتیون‌های مختلف در جایگاه X تفسیر می‌شود [۴۸].

برداشت

سنگ‌های دگرگونی مورد بررسی در شمال غربی معدن آهن گل گهر در جنوب شرقی پهنه دگرگونی سنندج-سیرجان واقع هستند. ترکیبی از نتایج ریزپردازش الکترونی و طیفسنجی رامان کانی‌های گارنت سنگ‌های گارنت شیست در منطقه انجیرخواجه سیرجان، معدن آهن گل گهر بررسی شد. شیمی کانی گارنت‌ها در گارنت شیست‌های منطقه مورد بررسی غنی از آلماندین و گروسولار است، در حالی که گارنت‌ها در گارنت-ستارولیت شیست از آلماندین و پیروپ غنی تر از سایر اعضای پایانی گارنت هستند. طیف رامان گارنت‌ها در منطقه مورد بررسی شامل سه قله شدید در حدود ۳۵۰، ۵۵۰ و ۱۹۰۰ است و بر این اساس، تقریباً همه نمونه‌های گارنت محلول جامد از دو حالت رفتاری آلماندین-گروسولار و آلماندین-پیروپ را نشان می‌دهند. در گارنت‌ها، به دلیل اندازه و جرم مشابه Fe²⁺ Ca²⁺ Mg²⁺ و یون‌های Ca²⁺ و Mg²⁺ جایگزین در جایگاه X شده‌اند. به طور کلی، گارنت‌های مورد بررسی منطقه‌بندی با بیشترین میزان در آلماندین را نشان می‌دهند. بررسی‌های سنگنگاری نشان می‌دهد که گارنت شیست‌ها و گارنت-ستارولیت شیست‌ها، رخساره‌های دگرگونی متوسط تا بالا را ثبت می‌کنند. با توجه به همه این موارد، فعالیت ماقمایی اواخر ذوراسیک در جنوب شرقی پهنه سنندج-سیرجان باعث شکل گیری اقیانوس نئوتیس شده است و سنگ‌های دگرگونی در یک جایگاه جزاير قوس قاره‌ای در اثر دگرگونی سنگ‌های مادر رسوی پلتیک و سمی پلتیک در حد رخساره شیست بالایی تا رخساره آمفیبولیت زیرین شکل گرفته‌اند.

قدرتانی

این مقاله برگرفته از پایان نامه مقطع دکتری نویسنده اول در دانشگاه شهید باهنر کرمان است، نویسنده‌گان از دکتر محسن موذن که برای بهبود این مقاله کمک زیادی نمودند، بسیار سپاسگزارند. همچنین از آزمایشگاه EMS دانشگاه یاماگاتا و

به خوبی گسترش می‌یابند. گارنت شیست‌های منطقه، شیست-های پلتیک و دارای گارنت، استارولیت، بیوتیت، موسکویت، کلریت و کوارتز هستند.

گروه گارنت یک خانواده‌ای از کانی‌ها با ترکیب‌های شیمیایی متغیر، اما ساختارهای مشابه است. مخلوطی از چند کانی گارنت (اعضای پایانی) باعث ترکیب شیمیایی پیچیده ای برای بسیاری از گارنت‌های طبیعی می‌شود. ترکیب‌های برآورده شده بر پایه طیفسنجی ریز رامان با نتایج ریزپردازش الکترونی برای همه گارنت‌ها همخوانی دارد. گروه گارنت یک سامانه عالی برای بررسی ویژگی‌های طیفسنجی ارتعاشی ساختارهای سیلیکاتی است. ساختار آن نسبت به بسیاری از موادمعدنی به نسبت پیچیده، اما به دلیل تقارن بالا (گروه فضایی Ia3 Åd)، طیف‌ها و بررسی آنها به نسبت ساده است. همچنین، تعداد زیادی از اعضای پایانی متفاوت گارنت‌ها از نظر ترکیب، بررسی تغییرات طیف‌ها با تغییر شیمی را ممکن می‌سازند. طیف-سنجدی رامان افزون بر شناسایی کانی‌ها، می‌تواند اطلاعات ارزشمندی در مورد پیوند و حالت ساختاری کانی ارائه دهد [۴۶]. محاسبه ترکیب شیمیایی تقریبی گارنت براساس موقعیت خطوط در طیف رامان امکان پذیر است. طیف رامان گارنت شامل سه خط با بیشترین شدت به ترتیب در حدود ۳۵۰، ۵۵۰ و ۹۰۰ به ترتیب مربوط به کشش-Si-O، خمش-Si-O و ارتعاش‌های چرخشی R(SiO4)⁴⁻ است. این خطوط به ترکیب شیمیایی گارنت حساس هستند [۳۸].

مقایسه داده‌های ریزپردازش الکترونی با نتایج طیفسنجی رامان نشان می‌دهد که تعیین انواع گارنت بر پایه طیفسنجی رامان برای اعضای پایانی یا محلول‌های جامد شامل دو کانی قابل اطمینان‌تر است. اگر ترکیب شیمیایی گارنت پیچیده‌تر و شامل چند کانی باشد، این روش ممکن است به درستی کار نکند [۴۷].

بسامدهای مختلف در گروه گارنت‌های آلومینوسیلیکاتی تابعی از کاتیون‌های جایگاه X و چاروجه‌ی SiO₄ هستند. در مورد محلول جامد، گارنت‌ها پدیده دو حالت رفتاری را ارائه می‌دهند [۳۰]. دو حالت رفتاری در گارنت‌های دوتایی بر

belt around Nain and Rafsanjan Area; A Preliminary Study: Treatise on the Geology of Iran.”, Iranian Ministry of Mines and Metals (1993).

[12] Alavi M., “*Regional stratigraphy of the Zagros folded-thrust belt of Iran and its proforeland evolution.*”, Am. J. Sci. 304 (2004) 1–20.

[13] Sengör A.M.C., “*The Cimmeride orogenic system and tectonics of Eurasia.* Bull. Geol. Soc. Am. 195 (1984) 1–74.

[14] Mohajjal M., Fergusson C.L., Sahandi M.R., “*Cretaceous-Tertiary convergence and continental collision.*”, Sanandaj-Sirjan Zone, western Iran. J. Asian Earth Sci. 21(2003) 397–412.

[15] Moazzen M., et al., “*Azna granitoid as an example of syn-collision S-type granitisation in Sanandaj-Sirjan metamorphic belt Iran.*”, Neues Jahrbuch für Mineralogie. Monatshefte 11 (2004) 489–507.

[16] Berberian M., Alavi-Tehrani M., “*Structural analysis of the Hamadan metamorphic tectonites; a paleotectonic discussion.*”, In: Berberian, M. (Ed.), Contribution to the Seismotectonics of Iran, Part III, 40. Geological Mineralogy Survey of Iran, (1977) pp. 263–280.

[17] Ghasemi H., et al., “*The mafic ultramafic complex of Sikhshan (central Iran); a polygenetic ophiolite complex.*”, CR Geosci. 334 (2002) 431–438.

[18] Rahimi Sadegh H., Moeinzadeh H., Nakashima K., “*Geochemistry, mineral chemistry and P-T evaluation of metasediments of Bahram-Gur complex, ES Sanandaj-Sirjan zone, Iran.*”, Mineralogia 50 (2019) No 1-4: 34-68.

[19] Sabzehi M., “*Geological map of GolGohar.*”, 1/100000. Geological Survey of Iran (1997).

[20] Horton B.K., et al., “*Detrital zircon provenance of Neoproterozoic to Cenozoic deposits in Iran: implications for chronostratigraphy and collisional tectonics.*”, Tectonophysics 451 (2008) (1-4), 97-122.

آزمایشگاه رنیشاو رامان دانشگاه وین برای کمک به تجزیه و تحلیل نتایج ریزپردازش الکترونی و ریز رامان تشکر می‌نماییم.

مراجع

- [1] Deer W.A., Howie R.A., Zussman J., “*An introduction to the Rock-forming minerals.*”, The Mineralogical Society, London, (2013) 498 p.
- [2] Reiche I., Pages-Camagna S., Lambacher L., “*Raman Spectrosc.*”, 35 (2004), 719–725.
- [3] Makreski, P., et al., “*Struct.*”, (2005) 744–747, 79–92.
- [4] Berberian M., King G.C.P., “*Towards a paleogeography and tectonic evolution of Iran.*”, Can. J. Earth Sci. 18 (1981), 210–265.
- [5] Aghanabati A., “*Geology of Iran.*”, In: Geological Survey of Iran. (1995) pp. 606.
- [6] Berberian M., “*Active tectonics and geologic setting of the iranian plateau.*”, Dev. Earth Surf. Processes 17 (2014) 151–171.
- [7] Mehdipour Ghazi J., Moazzen M., “*Geodynamic evolution of the Sanandaj–Sirjan zone, Zagros Orogen, Iran.*”, Turkish J. Earth Sci. 24 (2015) 513–528.
- [8] Förster H., Fesefeldt K., Kürsten M., “*Magmatic and orogenic evolution of the central Iranian volcanic belt.*”, In: Armstrong, J.E., Hedberg, H.D. (Eds.), 24th International Geologic Congress. Montreal, Québec, Canada, (1972) pp. 198–210.
- [9] Jung D., Küsten M., Tarkian M., “*Post-Mesozoic volcanism in Iran and its relation to the subduction of the Afro-Arabian under the Eurasian plate.*”, In: Pilger, A., Rosler, A. (Eds.), Afar Between Continental and Oceanic Rifting. E.Schweizerbart'sche Verlag sbuchhandlung, Stuttgart (1976).
- [10] Berberian F., et al., “*Late Cretaceous and early Miocene Andean type plutonic activity in northern Makran and central Iran.*”, J. Geol. Soc. London 139 (1982) 605–614.
- [11] Ahmad T., Posht Kuhi M., “*Geochemistry and petrogenesis of Urumiah-Dokhtar volcanic*

- [36] Smith Schweiz D.C., Pinet M., Boyer H., "Terra Cognita.", 8 (1998) 77–78.
- [37] Smith Schweiz D.C., Pinet M., "GeoRaman-96, Terra Abstracts.", Supplement 2, Terra Nova 8 (1996) 23-24.
- [38] Kolesov B.A., Geiger C.A., "Raman spectra of silicate garnets.", Physics and Chemistry of Minerals, 25 (1998) 142-151.
- [39] Werner C., "Saxonian granulites-igneous or lithogenous. A contribution to the geochemical diagnosis of the original rocks in high-metamorphic complexes. Contributions to the geology of the Saxonian granulite massif (Sächsisches Granulitgebirge).", Zfl-Mitteilungen, 133 (1987) 221-250.
- [40] Garcia D., Fonteilles M., Moutte J., "Sedimentary fractionations between Al, Ti, and Zr and the genesis of strongly peraluminous granites.", The Journal of Geology, 102(4) (1994) 411-422.
- [41] Bhatia M.R., Crook K.W., "Trace element characteristics of greywackes and tectonic setting discrimination of sedimentary basins.", Contributions to Mineralogy and Petrology, 92 (1986) 181-193.
- [42] Alavi M., "Tectonics of the Zagros orogenic belts of Iran: new data and interpretation. Tectonophysics.", 229 (1994) 211-238. **Error!**
- Hyperlink reference not valid.**
- [43] Mohajjal M., Fergusson C.L., "Jurassic to Cenozoic tectonics of the Zagros Orogen in northwestern Iran.", International Geology Review, 56 (2014) 263-287.
- [44] Berberian F., Berberian M., "Tectono-plutonic episodes in Iran. In: Gupta, H.K., Delany, F.M. (Eds.), Zagros-Hindu Kush-Himalaya.", Geodynamic Evolution, 3. American Geophysics Union, Geodynamics Series, (1981) pp. 5–32.
- [45] Hooper R.J., et al., "The development of the southern Tethyan margin in Iran after the breakup of Gondwana: implications of the Zagros
- [21] Miyamoto M., Ohsumi K., "Micro-Raman spectroscopy of olivines in L6 chondrites: evaluation of the degree of shock.", Geophys. Res. Lett. 22 (1995) 437–440.
- [22] Whitney D.L., Evans B.W., "Abbreviations for names of rock-forming minerals. American Mineralogist.", 95 (2010) 185-187.
- [23] Passchier C. W., Trouw R. A. J., "Microtectonics.", Springer verlag, Second edition, (2005) 366 p, 322 illus.
- [24] Barker A.J., "Metamorphic textures and microstructures.", Blackie, Glasgow (1990).
- [25] Winkler H.G. F., "Petrogenesis of metamorphic rocks.", Shiraz University Press, (1992) 408 p.
- [26] Bukher K., Frey M., "Petrogenesis of metamorphic rocks.", University of Tehran, (2000) 404 p.
- [27] Mange M.A., Morton A.C., "Geochemistry of heavy minerals.", Dev. Sedimentol. 58 (2007) 345–391.
- [28] Koningstein J., Sonnich Mortensen O., "Laser-excited phonon Raman spectrum of garnets.", JMol Spectrosc, 27 (1968) 343-350.
- [29] McDevitt N.T., "Infrared lattice spectra of rare-earth aluminum, gallium, and iron garnets.", J OptSocAm 59, 9 (1969) 1240-1244.
- [30] Moore R.K., White W.B., Long T.V., "Vibrational spectra of the common silicates: I. the garnets.", Am Mineral 56 (1971) 54±71.
- [31] Hofmeister A.M., Chopelas A., "Vibrational spectroscopy of end-member silicate garnets.", Phys Chem Minerals 17 (1991a) 503-526.
- [32] Pinet M., Smith Schweiz D.C., "Mineral.", Petrogr. Mitt. (Bull. Suisse) 73 (1) (1993) 21–40.
- [33] Pinet M., Smith Schweiz D.C., "Mineral.", Petrogr. Mitt. (Bull. Suisse) 74 (2) (1994) 161–179.
- [34] Smith Schweiz D.C., "Spectrochim.", Acta A, 61 (2005) 2299–2314.
- [35] Smith Schweiz D.C., "Acta Universitatis Carolinae.", Geologica 46 (2002) 87–89.

- spectroscopy.”, Prepublication Manuscript, University of Arizona (2009).*
- [48] Sherwood P. M. A., “*Vibrational spectroscopy of solids.*”, Cambridge University Press, Cambridge (1972).
- hydrocarbon province.”, Geosciences 4 (1994) 72-85.*
- [46] Mingsheng P., et al., “*Raman Spectroscopy of Garnet-group Minerals.*”, Chinese Journal of Geochemistry, Vol. 13 No.2 (1994).
- [47] Henderson R.R., “*Determining chemical composition of the silicate garnets using Raman*